



دانشگاه شهروردی و مهندسی پیشرفت

نشریه پژوهش‌های حفاظت آب و خاک  
جلد بیست و یکم، شماره سوم، ۱۳۹۳  
<http://jwsc.gau.ac.ir>

## تخمین توزیع رسوب ورودی به مخزن سد کرج با استفاده از انواع الگوریتم‌های توسعه‌یافته جستجوی هارمونی

\***کیانا عالی‌خانی<sup>۱</sup>، کورش قادری<sup>۲</sup> و محمدمهدی احمدی<sup>۳</sup>**

<sup>۱</sup>دانشجوی کارشناسی ارشد گروه مهندسی آب، دانشگاه شهید باهنر کرمان،

<sup>۲</sup>استادیار گروه مهندسی آب، دانشگاه شهید باهنر کرمان

تاریخ دریافت: ۹۱/۸/۳؛ تاریخ پذیرش: ۹۲/۲/۲۲

### چکیده

احداث سد روی رودخانه‌ها منجر به رسوب‌گذاری در مخازن سدها شده که این امر مشکلات فراوانی را به بار می‌آورد. پیش‌بینی مقدار و نحوه توزیع رسوب در مخازن برای طراحی و بهره‌برداری از سد، اهمیت فراوانی دارد. یکی از مدل‌های تجربی که پژوهشگران برای تخمین رسوب‌گذاری در مخزن از آن استفاده می‌کنند، روش کاهش سطح می‌باشد. پارامترهای روش تجربی کاهش سطح توسط بورلند و میلر از ۳۰ سد آمریکا به دست آمده‌اند. برای تخمین دقیق‌تر مقادیر رسوب ورودی به مخازن در دیگر مناطق باید مقادیر بهینه این پارامترها به دست آیند. در این پژوهش برای محاسبه مقادیر بهینه پارامترهای روش کاهش سطح و تخمین دقیق‌تر رسوبات ورودی به مخزن سد کرج، چند مدل براساس تلفیق روش بهینه‌سازی الگوریتم جستجوی هارمونی (HS) و انواع بهبودیافته آن مانند الگوریتم‌های GHS، IHS و SAHS با روش کاهش سطح توسعه داده شده است. ابتدا صحت و سقم مدل‌های توسعه داده شده مورد بررسی قرار گرفته و سپس میزان رسوب ورودی به مخزن سد کرج با استفاده از مدل توسعه داده شده تخمین زده شده است. مقایسه آماری روش‌های مختلف توسعه داده شده و روش کاهش سطح با میزان رسوبات واقعی ته‌نشین شده در سد کرج بیانگر عملکرد بالای روش‌های توسعه داده شده می‌باشد. در بین این روش‌ها، با ترکیب روش کاهش سطح با الگوریتم‌های SAHS و IHS، مقدار خطأ ۹۰ درصد کاهش یافته است.

واژه‌های کلیدی: رسوب‌گذاری، مخزن، روش کاهش سطح، HS، سد کرج

\* مسئول مکاتبه: kiyanaulikhani@yahoo.com

## مقدمه

از مهم‌ترین اهداف ساخت مخازن، استفاده از منابع آبی ذخیره شده در درازمدت می‌باشد. یکی از مهم‌ترین مشکلاتی که مخازن در طول دوره بهره‌برداری با آن مواجه هستند ورود رسوبات و ته‌نشین شدن آن‌ها می‌باشد که کاهش عمر مفید مخازن را در پی دارد. همچنین انباشت رسوبات در مخازن، بالادست و پایین‌دست سد را تحت تأثیر تغییرات زیست‌محیطی قرار می‌دهد (وانگ و هو، ۲۰۰۹). با اطلاع از نحوه توزیع رسوبات و پیش‌بینی آن می‌توان با ضریب اطمینان بالاتری سیاست‌های مربوط به بهره‌برداری از مخزن و تصمیمات لازم در ارتباط با مشکلات ناشی از رسوب‌گذاری را اتخاذ نمود. علاوه‌بر آن برای تحلیل پایداری سد، محاسبه حجم مفید، تعیین ارتفاع مناسب دریچه‌های تخلیه‌کننده و توربین‌های مولد برق به پیش‌بینی ارتفاع رسوب در پشت دیواره سد و نحوه توزیع رسوب در مخزن سد، نیاز می‌باشد (یونیگان و همکاران، ۲۰۱۰). در ایران حدود ۱۰۰ میلیون مترمکعب از گنجایش مفید سدهای مخزنی به خاطر رسوب‌گذاری کاسته می‌شود (موسوی و همکاران، ۲۰۰۷). ضروری به‌نظر می‌رسد که وضعیت توزیع رسوب و مقدار رسوب ورودی به مخزن قبل از طراحی و ساخت سد، تخمین زده شود (گیمیر و ردی، ۲۰۱۰).

روش‌های مختلفی برای پیش‌بینی توزیع رسوبات در ترازهای مختلف مخزن وجود دارد. این روش‌ها شامل مدل‌های ریاضی، روش‌های تجربی، نیمه‌تجربی و مدل‌های آزمایشگاهی می‌باشند (تونیلو و پارکر، ۲۰۰۳). دقت پیش‌بینی مقدار رسوب واردہ به مخازن سدها، بستگی زیادی به روش‌های محاسباتی و معادله‌های ارایه شده در این زمینه دارد. مدل‌های آزمایشگاهی به‌علت هزینه‌های سنگین، طولانی بودن مدت انجام و محدود بودن مدل ساخته شده، فقط در بعضی موارد مورد توجه می‌باشند. مدل‌های ریاضی نیز به پارامترهای زیادی نیاز دارند که پیش‌تر این پارامترها در بیش‌تر مخازن به سختی قابل اندازه‌گیری بوده و یا به‌طور دقیق اندازه‌گیری نشده‌اند اما در صورت وجود این پارامترها، این مدل‌ها نیز از دقت بالایی برخوردار می‌باشند. تاکنون روش‌های تجربی بسیاری برای محاسبه چگونگی توزیع رسوب در مخزن سدها ارایه شده است. دو روش افزایش سطح و کاهش سطح نسبت به سایر روش‌ها متدالول‌تر هستند. اساس هر دو روش بر پایه تعدل سطح اولیه مخزن بر اثر ته‌نشست افقی رسوبات می‌باشد. روش کاهش سطح، اولین بار توسط بورلند و میلر (۱۹۵۸) ارایه شد و سپس توسط مودی اصلاح گردید (صفرزاده و همکاران، ۲۰۰۹). پژوهشگران بسیاری از این دو روش برای پیش‌بینی و تخمین رسوبات ورودی به مخازن استفاده کرده‌اند. موسوی و صمدی بروجنی (۱۹۹۶)، شعبانلو و همکاران (۲۰۰۲)، موسوی و همکاران (۲۰۰۶)، آناندل (۱۹۸۴)

و محمدیها و همکاران (۲۰۱۰) از این روش برای بررسی توزیع رسوب در مخازن استفاده نمودند و به این نتیجه رسیدند که روش تجربی کاهش سطح با کمترین خطا بیشترین تطابق را با توزیع رسوبات دارد. از برتری‌های روش کاهش سطح نسبت به روش‌های دیگر این است که نیاز به داده‌های ورودی کمتری دارد اما این روش همه جنبه‌های رسوب‌گذاری در مخزن را پوشش نمی‌دهد. ضرایب به کار رفته در این روش به صورت تجربی محاسبه شده و ممکن است پارامترهای به کار رفته در این روش، مناسب مناطق دیگری نباشد که این موضوع درصد خطای تخمین رسوبات ورودی به مخزن را افزایش می‌دهد. محمدیها و عمادی (۲۰۱۰) با استفاده از الگوریتم ژنتیک، پارامترهای بهینه روش کاهش سطح را به دست آوردند که میزان خطا را در سد کارده به میزان ۵۰ درصد کاهش دادند.

بنابراین هدف از انجام این پژوهش یافتن مقادیر بهینه پارامترهای روش تجربی کاهش سطح با استفاده از تلفیق الگوریتم بهینه‌سازی جستجوی هارمونی (HS)<sup>۱</sup> و انواع توسعه یافته‌تر آن مانند الگوریتم جستجوی هارمونی بهبود یافته (HIS)<sup>۲</sup>، الگوریتم جستجوی بهینه سراسری (GHS)<sup>۳</sup> و الگوریتم جستجوی هارمونی تطبیقی (SAHS)<sup>۴</sup> با روش تجربی کاهش سطح برای تخمین دقیق‌تر رسوبات ورودی به سد مخزنی کرج می‌باشد. در این پژوهش توسعه مدل‌های تلفیقی روش کاهش سطح و الگوریتم جستجوی هارمونی و انواع توسعه یافته آن در قسمت برنامه‌نویسی نرم‌افزار MATLAB انجام شده است.

### مواد و روش‌ها

**روش کاهش سطح:** روش تجربی کاهش سطح، اولین بار توسط بورلند و میلر (۱۹۵۸) ارایه و سپس توسط مودی اصلاح گردید (صفرزاده و همکاران، ۲۰۰۹). در این روش، توزیع رسوب در مخزن به ضریب شکل مخزن و حجم رسوبات انباسته شده در آن بستگی دارد. ضریب شکل مخزن عبارت است از عکس شب منحنی ارتفاع- حجم مخزن ( $M$ ) که در یک کاغذ لگاریتمی ترسیم شده باشد. با توجه به مقدار  $M$ ، بورلند و میلر مخازن را به ۴ دسته کلی طبقه‌بندی کردند (شفاعی‌بختان، ۱۹۹۹).

معادله اساسی در روش کاهش سطح به صورت رابطه ۱ می‌باشد:

- 
- 1- Harmony Search
  - 2- Improved Harmony Search
  - 3- Global Best Harmony Search
  - 4- Self Adaptive Harmony Search

$$s = \int_{Y_i}^Y Ady + \int_{Y_i}^H Kady \quad (1)$$

که در آن،  $s$ : حجم کل رسوبات،  $H$ : عمق اولیه مخزن،  $A$ : سطح مخزن در ترازهای مختلف،  $Y$ : عمق رسوب در پشت سد (قبل از رسوب‌گذاری)،  $a$ : سطح نسبی رسوب به‌ازای مقادیر مختلف عمق نسبی،  $dy$ : جزء ارتفاع و  $K$ : ضریب تناسب برای تبدیل سطح نسبی رسوب به سطح واقعی می‌باشد که از رابطه ۲ به‌دست می‌آید:

$$k = \frac{A}{a} \quad (2)$$

که در آن،  $A$ : سطح اولیه مخزن در تراز  $Y$  می‌باشد. سطح نسبی از رابطه زیر تعیین می‌شود که  $P$  عمق نسبی می‌باشد:

$$a = CP^m (1 - P)^n \quad (3)$$

که در آن، ضرایب ثابت  $m$  و  $n$  با توجه به تیپ مخزن تعیین می‌گردند. ضرایب رابطه  $a$  در جدول ۱ آمده است (محمدزاده‌هابیلی و موسوی، ۲۰۰۹).

جدول ۱- مقادیر ضرایب  $a$ .

تیپ مخزن	C	m	N
I	۳/۴۱۷	۱/۵	۰/۲
II	۲/۳۲۴	۰/۵	۰/۴
III	۱۵/۸۸۲	۱/۱	۲/۳
IV	۴/۲۳۲	۰/۱	۲/۵

در روش کاهش سطح، برای تعیین چگونگی توزیع رسوب‌گذاری در مخزن ۵ مرحله طی می‌شود که در کتاب‌ها و مقالات علمی معتبر به صورت کامل توضیح داده شده است (موسوی و همکاران، ۲۰۰۷). سپس مقادیر رسوب به‌دست آمده از روش کاهش سطح با مقادیر به‌دست آمده از هیدروگرافی مقایسه شده و مقدار انحراف معیار (۵) طبق رابطه ۴ به‌دست می‌آید.

$$\sigma = \sqrt{\sum_{i=1}^n (v_i - \bar{v}_i)^2 / (n-1)} \quad (4)$$

**الگوریتم جستجوی هارمونی:** الگوریتم فرالبتکاری<sup>۱</sup> جستجوی هارمونی (HS)، برای اولین بار با الهام از پدیده موسیقی توسط گیم و همکاران (۲۰۰۱) ارایه شده است. الگوریتم HS در مقایسه با دیگر روش‌های بهینه‌سازی عددی برتری‌هایی دارد که از جمله آن می‌توان به توانایی کار با متغیرهای گستره و احتمال بسیار کمتر به دام افتادن در دام نقاط بهینه موضعی اشاره نمود (لی و گیم، ۲۰۰۴). همچنین این الگوریتم از برخی ویژگی‌های سایر الگوریتم‌های فرالبتکاری مانند حفظ بردارهای قبلی، حفظ حافظه هارمونی از شروع تا پایان و ارزیابی چندین بردار در یک زمان نیز استفاده می‌کند. اما در مقایسه با آن‌ها پیش‌نیازهای ریاضی کمتری به کار برده و توانایی حل مسایل مختلف بهینه‌سازی مهندسی را دارد (گیم، ۲۰۰۷). مراحل انجام الگوریتم HS به شرح زیر می‌باشد:

**مرحله اول - مقداردهی اولیه پارامترهای مسئله و الگوریتم:** پارامترهای الگوریتم جستجوی هارمونی شامل اندازه حافظه هارمونی (HMS)<sup>۲</sup>، سرعت بررسی حافظه هارمونی (HMCR)<sup>۳</sup>، سرعت تنظیم قطعات (PAR)<sup>۴</sup>، پهنای باند (BW)<sup>۵</sup> و تعداد تکرار (NI)<sup>۶</sup> می‌باشد (لی و گیم، ۲۰۰۵).

**مرحله دوم - مقداردهی اولیه حافظه هارمونی (HM)<sup>۷</sup>:** قبل از این‌که هارمونی جدید ایجاد شود، ماتریس حافظه هارمونی با گروهی از بردارهای جواب (هارمونی) که به صورت اتفاقی ایجاد می‌شوند پر می‌شود. در این مرحله به تعداد HMS بردار جواب در حافظه هارمونی قرار داده می‌شود. به این منظور هر بردار جواب به صورت زیر ایجاد می‌شود (انتخابی تصادفی خواهد بود):

$$X_i^j = Lbxi + (Ubxi - Lbxi) * r \quad \text{for } i = 1, 2, \dots, N \quad \& \quad j = 1, 2, \dots, HMS \quad (5)$$

که در آن،  $X_i^j$ : بیانگر متغیر  $i$  ام در بردار جواب  $j$  ام می‌باشد. پارامتر  $r$  عدد یکنواخت تصادفی بوده و دارای مقداری بین صفر و یک می‌باشد.  $Ub$  و  $Lb$  به ترتیب کران بالا و کران پایین متغیرها می‌باشد.

1- Heuristic

2- Harmony Memory Size

3- Harmony Memory Consideration

4- Pitch Adjusting Rate

5- Band Width

6- Number of Improvisation

7- Harmony Memory

مرحله سوم- ایجاد یک هارمونی جدید از حافظه هارمونی: در مرحله تولید هارمونی جدید، زمانی که حافظه هارمونی آماده شد یک بردار جواب جدید (هارمونی)، با استفاده از حافظه هارمونی ایجاد می‌شود. به عبارتی برای هر متغیر یک مقدار جدید انتخاب می‌شود. در انتخاب هر مقدار جدید معمولاً از سه عملگر بررسی حافظه هارمونی، تنظیم قطعات و انتخاب تصادفی استفاده می‌شود. عملگر بررسی حافظه هارمونی برای مقدار جدید متغیر مورد نظر با احتمال HMCR، مقداری را از حافظه هارمونی انتخاب می‌کند. مثلاً برای متغیر اول قبل از همه عملگرها، عدد یکنواخت تصادفی ( $r_1$ ) در بازه  $[0,1]$  ایجاد می‌شود، اگر این عدد کمتر از مقدار HMCR باشد مقدار جدید متغیر اول،  $x_i^{new}$  با استفاده از عملگر بررسی حافظه، از حافظه هارمونی برداشته می‌شود ( $x_i^{HMS} = x_i^{new}$ ). در غیر این صورت عملگر انتخاب تصادفی با احتمال  $(1 - HMCR)$  مقدار جدید را از تمام مقادیر دامنه متغیر، حتی آن‌هایی که در مرحله دوم در حافظه هارمونی قرار نگرفته‌اند، انتخاب می‌کند. مقادیر جدید سایر متغیرها نیز به همین ترتیب به دست می‌آیند.

$$x_i^{new} \rightarrow \begin{cases} x_i^{new} \in \{x_i^1, x_i^2, \dots, x_i^{HMS}\} & w.p. HMCR \\ x_i^{new} \in X_i & w.p. (1 - HMCR) \end{cases} \quad (6)$$

پس از این‌که در مرحله سوم مقدار جدید برای متغیر موردنظر،  $x_i^{new}$ ، انتخاب شد، احتمال PAR روی آن اعمال می‌شود. یک عدد یکنواخت تصادفی ( $r_2$ ) از بازه  $[0,1]$  ایجاد می‌شود که اگر این عدد از مقدار PAR کم‌تر باشد مقدار جدید متغیر،  $x_i^{new}$  با استفاده از مرحله تنظیم گام به مقداری در همسایگی آن تغییر می‌یابد، در غیر این صورت با احتمال  $(1 - PAR)$  همان مقدار جدید برای متغیر انتخاب می‌گردد.

$$\text{Pitch adjusting decision for } x_i^{new} \rightarrow \begin{cases} \text{Yes} & w.p. \quad PAR \\ \text{No} & w.p. \quad (1 - PAR) \end{cases} \quad (7)$$

تغییر ایجاد شده روی متغیر جدید توسط عملگر تنظیم قطعات انجام می‌شود. اگر متغیرها پیوسته باشند تغییرات براساس رابطه ۱۰ و اگر گسسته باشند براساس رابطه ۱۱ خواهد بود.

$$x_i^{new} \rightarrow \begin{cases} x_i^{new} \pm r * Bw & w.p. \quad PAR \\ x_i^{new} & w.p. (1 - PAR) \end{cases} \quad (8)$$

$$x_i^{new} \rightarrow \begin{cases} x_{(i+m)}^{new} & w.p. \quad PAR \\ x_i^{new} & w.p. (1 - PAR) \end{cases} \quad (9)$$

که در آن، پارامتر  $m$  اندیس همسایگی بوده و مقداری برابر با ۱- یا ۱ اختیار می‌کند. پارامتر PAR احتمال تغییر مقدار جدید به مقداری در همسایگی آن در حافظه هارمونی است. محدوده آن مقداری بین صفر و یک است اما معمولاً مقداری کمتر از  $0/5$  برای آن در نظر گرفته می‌شود (گیم، ۲۰۰۶). مرحله چهارم- بهروزرسانی کردن حافظه هارمونی: در این مرحله بردار جواب جدید،  $x_{new}$  که در مرحله سوم ایجاد شده است با استفاده از تابع هدف ارزیابی می‌شود. اگر بردار جواب جدید،  $x_{new}$  از بدترین بردار جواب در حافظه هارمونی، از نظر مقدار تابع هدف بهتر باشد، هارمونی جدید به حافظه هارمونی اضافه شده و بدترین هارمونی از حافظه خارج می‌گردد.

مرحله پنجم- بررسی شرط توقف: معمولاً در الگوریتم جستجوی هارمونی تعداد تکرار (جستجو) به عنوان شرط توقف در نظر گرفته می‌شود (لی و گیم، ۲۰۰۴) که پارامتر مربوط به آن (NI) در مرحله اول مقداردهی می‌شود. اگر تعداد هارمونی‌های ایجاد شده به NI رسیده باشد محاسبه‌ها متوقف شده در غیر این صورت مراحل سوم تا پنجم تکرار خواهند شد.

**جستجوی هارمونی بهبودیافته (Improved Harmony Search):** پارامترهای PAR و Bw در عملکرد الگوریتم جستجوی هارمونی تأثیر بهسزایی دارند. با توجه به این که پارامتر Bw در بازه  $(0, \infty)$  قرار دارد بنابراین انتخاب آن مشکل‌تر می‌باشد. در الگوریتم HS، مقادیر ثابتی برای پارامترهای PAR و Bw در نظر گرفته می‌شود. مقدار کوچک PAR و بزرگ Bw، می‌تواند باعث کارایی ضعیف الگوریتم و افزایش تکرارهای (جستجوهای) الگوریتم در یافتن جواب بهینه شود. هر چند مقدار کوچک Bw، باعث بهتر شدن جواب‌های جدید نهایی می‌شود اما در جواب‌های جدیدی که در تکرارهای اولیه ایجاد می‌شوند باید مقدار بزرگتری داشته باشد تا منجر به ایجاد بردارهای جواب متنوع‌تری شود. بنابراین با مقدار بزرگ PAR و کوچک Bw، الگوریتم معمولاً جواب‌های بهتری در تکرارهای نهایی ایجاد کرده و همگرایی بهتری خواهد داشت. برای حل مشکلات ثابت بودن

پارامترهای PAR و Bw، مهدوی و همکاران (۲۰۰۷) شکل توسعه‌یافته‌ای از الگوریتم HS را به نام الگوریتم توسعه‌یافته جستجوی هارمونی (HIS) ارایه کردند که این پارامترها به صورت دینامیکی و همراه با افزایش تکرارها تغییر می‌کنند. بدین‌گونه:

$$PAR_{(gn)} = PAR_{\min} + \frac{PAR_{\max} - PAR_{\min}}{NI} \times gn \quad (10)$$

که در آن، PAR: سرعت تنظیم قطعات، PAR<sub>min</sub> و PAR<sub>max</sub> به ترتیب حداقل و حداکثر سرعت تنظیم قطعات و gn: شماره تکرار (جستجو) می‌باشد. پارامتر Bw از رابطه زیر محاسبه می‌شود:

$$Bw_{gn} = Bw_{\max} \times \exp\left(-\frac{\ln\left(\frac{Bw_{\min}}{Bw_{\max}}\right)}{NI} \times gn\right) \quad (11)$$

که در آن، Bw<sub>gn</sub>: پهنه‌ای باند در هر تکرار (جستجو)، Bw<sub>min</sub>: حداقل پهنه‌ای باند و Bw<sub>max</sub>: حداکثر پهنه‌ای باند می‌باشد. بنابراین با افزایش تکرارها مقادیر این پارامترها نیز به صورت خطی و نمایی تغییر خواهند کرد به طوری که در تکرارهای نهایی مقدار بزرگ PAR و کوچکی برای Bw به دست خواهد آمد (مهدوی و همکاران، ۲۰۰۷).

**جستجوی هارمونی سراسری بهینه (Global-best Harmony Search):** یک نوع دیگر توسعه‌یافته از مدل HS، جستجوی هارمونی سراسری بهینه (GHS) می‌باشد که توسط عمران و مهدوی (۲۰۰۸) توسعه‌یافته است. در این روش در گام سوم الگوریتم تغییراتی ایجاد شده است. به این طریق که پارامتر Bw حذف می‌شود و در مرحله سوم x جدید برابر با بهترین بردار x در حافظه قرار می‌گیرد. از برتری‌های این روش این است که دشواری انتخاب پارامتر Bw حذف شده و به راحتی برای هر دو نوع داده‌های پیوسته و گسسته مورد استفاده قرار می‌گیرد.

**جستجوی هارمونی تطبیقی (Self-Adaptive Harmony Search):** در این روش نیز تغییراتی در گام سوم (تنظیم گام) این الگوریتم ایجاد شده است (وانگ و هوانگ، ۲۰۱۰). پارامترها به طور خودکار از نتایج مراحل قبل و مقدار حداکثر و حداقل تابع هدف در حافظه هارمونی استفاده می‌کنند. اگر مقدار عدد تصادفی از مقدار پارامتر PAR کم‌تر باشد مقادیر جدید x از رابطه‌های زیر به دست می‌آیند:

$$\text{New\_x(i)} = \text{new\_x(i)} + [\max(i) - \text{new\_x(i)}] \times \text{rand} \quad (12)$$

$$\text{New\_x(i)} = \text{new\_x(i)} - [\text{new\_x(i)} - \min(i)] \times \text{rand} \quad (13)$$

از برتری‌های این روش حذف انتخاب مقادیر مناسب برای پارامترهای PAR و Bw و افزایش دقت در بردارهای جواب است.

**منطقه مورد مطالعه:** سد کرج بر روی رودخانه کرج در استان البرز و در فاصله ۶۳ کیلومتری شمال غربی تهران و در کیلومتر ۲۳ جاده کرج-چالوس، در شمال شهرستان کرج قرار دارد. این سد اولین سد چندمنظوره کشور بوده و یکی از منابع تامین‌کننده آب شرب شهر تهران می‌باشد. بهره‌برداری از این سد از سال ۱۳۴۰ آغاز شد. نوع سد کرج بتنی دو قوسی با طول تاج ۳۹۰ متر می‌باشد. مساحت مخزن یا دریاچه سد از ۱/۱ کیلومترمربع تا ۴ کیلومترمربع متغیر بوده و گنجایش آن ۲۰۶ میلیون مترمکعب است. حوضه آبخیز سد کرج در شیب‌های جنوبی سلسله کوه‌های البرز بین ۳۵ درجه و ۵۳ دقیقه تا ۳۶ درجه و ۱۱ دقیقه عرض شمالی و ۵۱ درجه و ۳۰ دقیقه تا ۵۱ درجه و ۵۰ دقیقه طول شرقی واقع شده است. مساحت حوضه آبخیز ۸۳۹۷۶ هکتار و محیط حوضه ۱۴۶/۴ کیلومتر می‌باشد.

شکل ۱ طرح شماتیک زیرحوضه سد کرج را نشان می‌دهد.

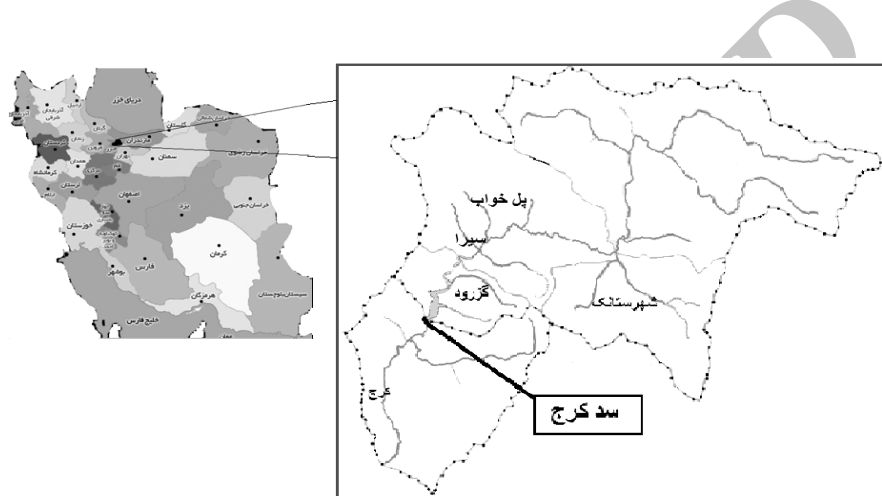
**بررسی صحت و سقم مدل:** همان‌طوری که اشاره شد در این پژوهش چندین مدل براساس الگوریتم HS و انواع بهبودیافته آن در قسمت برنامه‌نویسی نرم‌افزار MATLAB توسعه داده شده است. برای نشان دادن درستی عملکرد الگوریتم‌های توسعه داده شده در این پژوهش، از چند تابع استاندارد Michalewicz's, Axis parallel hyper-ellipsoid, De Jong's و Six-hump camel back Goldstein-Price's استفاده شده است. توابع از جمله این توابع هستند که توسط پژوهشگران زیادی مورد استفاده قرار گرفته‌اند.

به عنوان مثال تابع استاندارد روزنبراک<sup>۱</sup> به صورت زیر می‌باشد:

$$f(x) = \sum_{i=1}^{Nd} (100(x_i - x_{i-1}^*)^2 + (x_{i-1} - 1)^2) \quad (14)$$

1- Rosenbrock

هدف یافتن مقدار حداقل سراسری تابع بالا می‌باشد. دامنه متغیرهای آن  $-2/048 \leq x_i \leq 2/048$  می‌باشد ( $i=1,2,\dots,N$ ) و مقدار بهینه تابع بالا برابر با صفر است. پارامترهای الگوریتم جستجوی هارمونی پیشنهاد شده شامل  $HMS=10$ ,  $HMCR=0.9$ ,  $PAR=0.46$ ,  $Bw=0.96$  می‌باشند. ابتدا مقادیر متغیرهای  $x_1$  و  $x_2$  از دامنه  $[ -2/048 - 2/048 ]$  با استفاده از رابطه ۱۵ به تعداد HMS مقداردهی می‌شوند:



شکل ۱- نقشه حوضه آبریز سد کرج

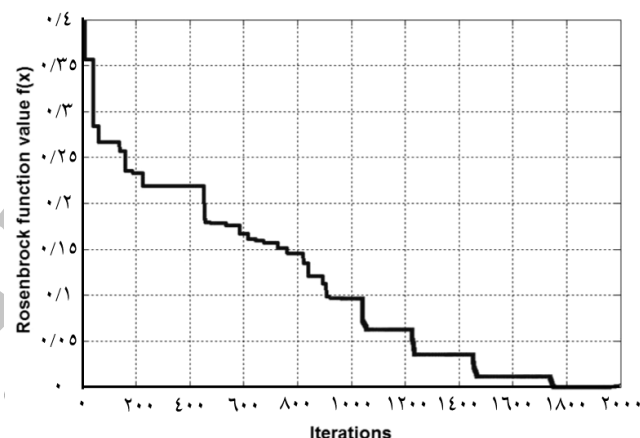
$$X_i^j = LBx_i + (UBx_i - LBx_i) \times r \quad \text{for } i = 1, 2, \dots, N \quad \& \quad j = 1, 2, \dots, HMS \quad (15)$$

که در آن،  $N$ : تعداد متغیرها می‌باشد. ترتیب قرارگیری حافظه هارمونی براساس مقدار تابع هدف انجام شده است. در روش HS شرط توقف تعداد تکرار است که بعد از ۵۰۰۰ تکرار محاسبه‌ها متوقف می‌شوند. در این مقاله علاوه بر شرط بالا از شرط دیگر نیز به صورت هم‌زمان استفاده شده است. به این صورت که اگر مقادیر بهینه تابع هدف در ۱۰۰ تکرار متواالی، اختلافی کمتر از مقدار بسیار کوچک  $^{10^-8}$  داشته باشند برنامه متوقف شود. در جدول ۲ مقادیر بهینه به دست آمده برای چندین تابع استاندارد ارایه شده است.

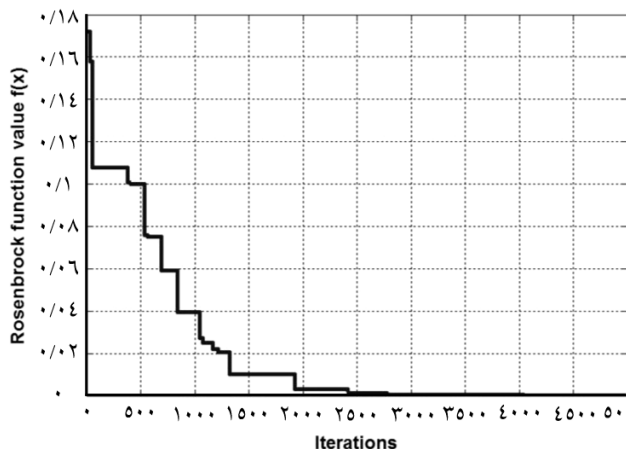
جدول ۲- مقادیر توابع استاندارد.

تعداد تکرار	مقدار بهینه تابع	تعداد	تعداد استاندارد	تعداد استاندارد	تعداد استاندارد	تعداد استاندارد
			HS	HIS	GHS	SAHS
۱۴۰۰	۰	۰	۰	۰	۰	۰
۱۵۰۰	-۱/۰۳۱۶	-۱/۰۳۱۶	-۱/۰۳۱۶	-۱/۰۳۱۶	-۱/۰۳۱۶	-۱/۰۳۱۶
۱۰۰۰	-۴/۷۵۲	-۴/۵۵۴	-۴/۶۵۶	-۴/۶۵۷	-۴/۶۸۷	-۴/۶۸۷
۱۲۰۰	۳	۳	۳/۰۰۰۱۲	۳	۳	۳
۱۰۰۰	۰	۰	۰	۰	۰	۰

در این جدول مقادیر بهینه واقعی این توابع و مقادیر بهینه به دست آمده توسط مدل‌های مختلف و همچنین تعداد تکرارهای انجام شده برای رسیدن به پاسخ‌های بهینه ارایه شده است. همچنین به عنوان نمونه روند همگرایی تابع روزنبراک با دو شرط توقف نیز در شکل‌های ۲ و ۳ ارایه شده است. همان‌گونه که مشاهده می‌شود، تابع در شکل ۳ پس از ۲۰۰۰ تکرار همگرا شده و پاسخ‌های بسیار نزدیکی همانند شکل ۱ ارایه نموده است.



شکل ۲- روند همگرایی به سمت مقدار مینیمم در تابع Rosenbrock (با شرط همگرایی پیشنهادی).

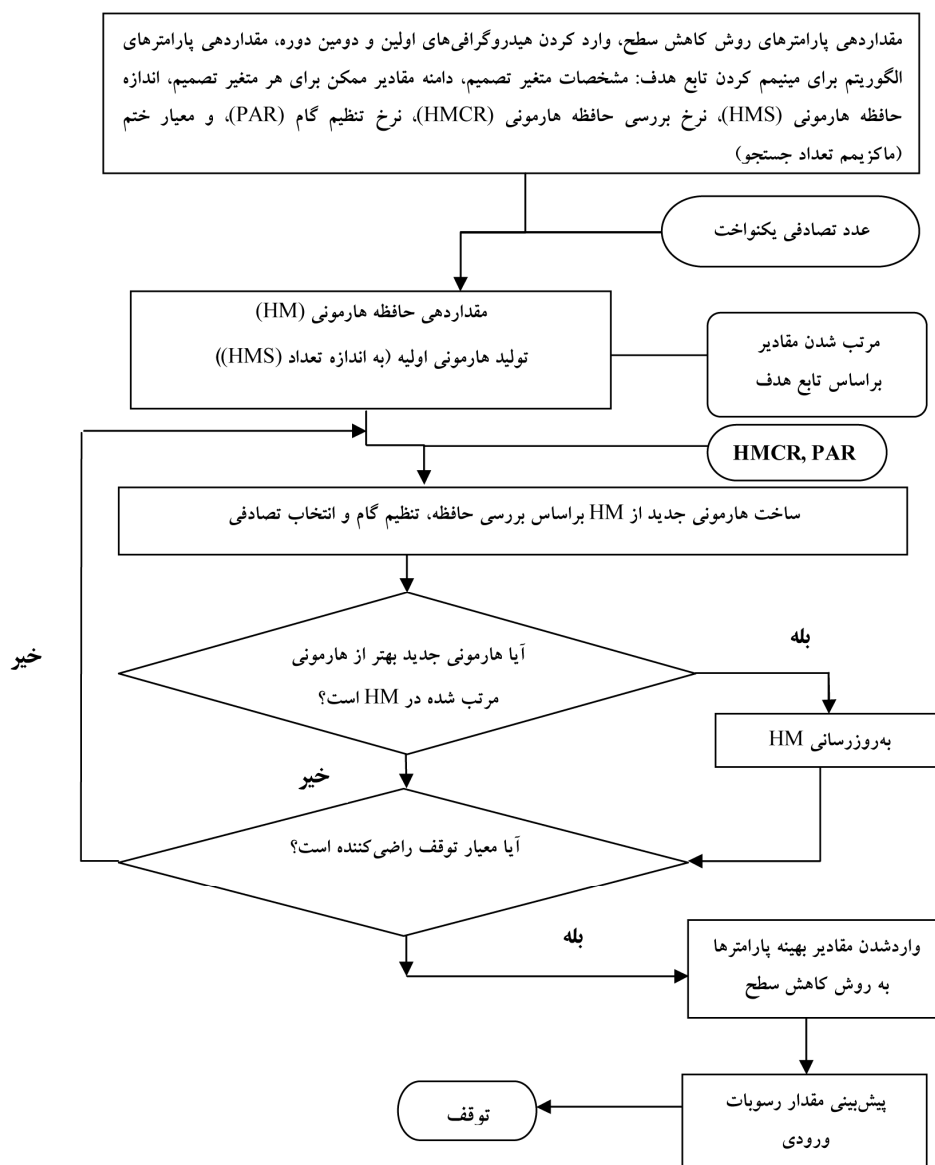


شکل ۳- روند همگرایی به سمت مقدار مینیمم در تابع Rosenbrock (با شرط همگرایی ۵۰۰۰ تکرار).

پس از بررسی صحت و سقم مدل‌ها، می‌توان از تلفیق آن‌ها با روش کاهش سطح برای تخمین مقادیر رسوب ورودی به مخزن سد کرج استفاده نمود. مدل بهینه‌سازی- شبیه‌سازی در قسمت برنامه‌نویسی محیط نرم‌افزار MATLAB توسعه داده شده است. شکل ۴ الگوریتم مدل تهیه شده را نشان می‌دهد.

## نتایج

سد کرج دارای سه هیدروگرافی در سال‌های ۱۳۴۰، ۱۳۷۰ و ۱۳۸۶ می‌باشد. در روش کاهش سطح مقادیر پارامترهای  $C$ ،  $m$  و  $n$  از روی نوع مخزن و مقادیر تجربی پیشنهاد شده به دست می‌آیند. با استفاده از این مقادیر می‌توان مقادیر رسوب ورودی به مخزن را تخمین زد. در مدل‌های توسعه داده شده در این پژوهش، کالیبراسیون ضرایب  $C$ ،  $m$  و  $n$  براساس هیدروگرافی‌های سال‌های ۱۳۷۰ و ۱۳۴۰.



شکل ۴- فلوچارت تلفیق الگوریتم جستجوی هارمونی و روش کاهش سطح.

با استفاده از تلفیق الگوریتم جستجوی هارمونی و روش کاهش سطح انجام شده است. بعد از واسنجی ضرایب توسط مدل توسعه داده شده، از مقادیر بهینه پارامترهای بهدست آمده برای تخمین رسوبات ورودی به مخزن برای سال ۱۳۸۶ که دارای یک هیدروگرافی مشاهداتی نیز می‌باشد استفاده شده است. علاوه بر تخمین رسوبات ورودی به سد کرج با استفاده از تلفیق الگوریتم جستجوی هارمونی با روش کاهش سطح، از تلفیق الگوریتم‌های توسعه یافته‌تر HS، GHS و HIS با روش کاهش سطح نیز برای تخمین رسوبات ورودی به مخزن سد کرج نیز استفاده شده است. به همین منظور چندین مدل براساس تلفیق روش‌های بالا با روش کاهش سطح در قسمت برنامه‌نویسی نرم‌افزار MATLAB تهیه شده است. در این مدل‌ها نیز از هیدروگرافی سال‌های ۱۳۴۰ و ۱۳۷۰ برای کالیبراسیون پارامترهای روش کاهش سطح استفاده شده است. سپس از ضرایب بهینه بهدست آمده برای تخمین میزان رسوبات ورودی به مخزن سد کرج در سال ۱۳۸۶ استفاده شده است. نتایج بهدست آمده از کالیبراسیون و میزان انحراف از مقادیر واقعی رسوبات تهشین شده در مخزن سد کرج در دوره ۳ کالیبراسیون با استفاده از روش‌های مختلف در جدول ۳ ارایه شده است. همان‌طور که از جدول ۳ مشخص است تعیین پارامترهای بهینه در این روش تأثیر بهسازی در کاهش میزان تابع هدف و بالا رفتن دقت این روش دارد.

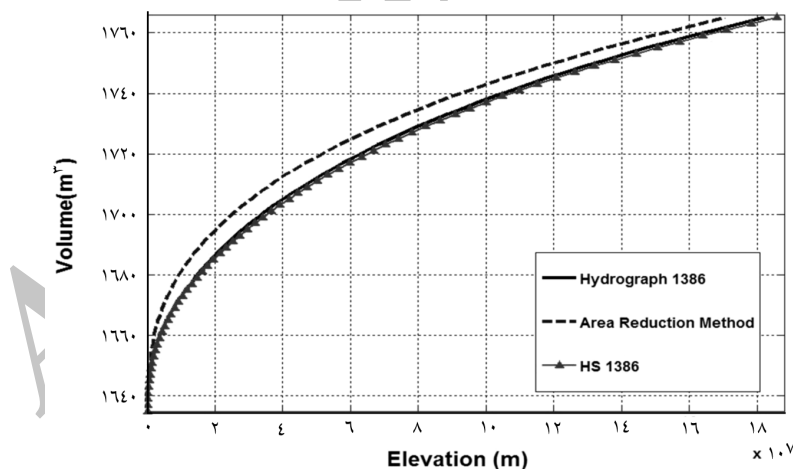
جدول ۳- مقدار تابع هدف با مقادیر معمول و بهینه C، m و n در دوره کالیبراسیون.

روش	C	m	n	$\sigma(MCM)$
کاهش سطح	۱۵/۸۸۲	۱/۱	۲/۳	۵/۵۳
HS	۷/۹۴	۰/۴۳۴	۰/۸۵۵	۲/۰۹۵
IHS	۱۲/۵	۰/۴	۰/۶۷	۲/۰۶۱
GHS	۱۰/۷۴	۰/۴	۰/۶۵۵	۲/۰۱۴
SAHS	۱۳/۳۴	۰/۴۸۴	۱/۳۰۳	۲/۲۷

در مورد سد کرج میزان تابع هدف براساس روش کاهش سطح و مدل توسعه داده شده بر مبنای روش HS در سال ۱۳۷۰ به ترتیب برابر با ۵/۵۳ و ۲۰۹۵ میلیون مترمکعب می‌باشد. مقدار تابع هدف بهدست آمده با استفاده از مدل توسعه داده شده کاهش ۶۲ درصدی نسبت به مقدار تابع هدف محاسبه شده از طریق روش کاهش سطح دارد. بعد از واسنجی ضرایب و محاسبه مقادیر بهینه ضرایب با

استفاده از مدل‌های توسعه داده شده، می‌توان مقدار رسوب ورودی به مخزن سد را در سال‌های بعد پیش‌بینی نمود. شکل ۵ نحوه توزیع رسوب در مخزن سد کرج را نسبت به ارتفاع در سال ۱۳۸۶ با استفاده از روش HS و روش کاهش سطح نشان می‌دهد. همان‌طورکه در این شکل مشاهده می‌شود نمودار حجم-ارتفاع به دست آمده با استفاده از پارامترهای بهینه مطابقت بهتری با هیدروگراف مشاهده شده دارد.

نتایج تلفیق روش کاهش سطح با الگوریتم‌های HS و ترکیب آن‌ها با شرط توقف پیشنهادی این پژوهش در جدول ۴ ارایه شده است. همان‌طورکه مشاهده می‌شود این روش‌ها در تعداد تکرار کمتری به جواب می‌رسند. همچنین مقادیر انحراف از معیار توزیع رسوب نیز بسیار کمتر می‌شوند. همان‌طورکه در جداول‌های ۴ و ۵ مشاهده می‌شود مقدار انحراف معیار به دست آمده با روش GHS نسبت به روش کاهش سطح در هر دو شرط توقف دارای کمترین مقدار می‌باشد. مقادیر بهبود تخمین رسوبات وارد شده به سد کرج با استفاده از روش‌های مختلف نسبت به روش کاهش سطح در جدول ۵ ارایه شده است. روش GHS در هر دو طریق محاسبه مقدار خطأ را حدود ۷۰ درصد کاهش داده و نتایج بهتری ارایه نموده است.



شکل ۵- تخمین توزیع رسوب در مخزن سد کرج با روش HS در سال ۱۳۸۶.

## نشریه پژوهش‌های حفاظت آب و خاک جلد (۲۱)، شماره (۳) ۱۳۹۳

جدول ۴- مقدار تابع هدف با مقادیر بهینه  $C$ ،  $m$  و  $n$  (با شرط همگرایی پیشنهادی).

روش	$C$	$m$	$n$	$\sigma$ (MCM)	تعداد تکرار
HS	۱/۷۷	۰/۷۸	۱/۴۵	۰/۲۴۶۵۸	۴۰۰
IHS	۱۸/۸۴	۰/۸	۱/۴۴	۰/۲۸۷۱۰	۲۰۰
GHS	۱۷/۶۱	۰/۹۷۹	۲/۱۸	۰/۲۴۳۱۱	۱۵۰
SAHS	۱۰/۹۵	۰/۷۷	۱/۳۴	۰/۲۴۴۲۰	۵۰۰

جدول ۵- مقدار انحراف از معیار توزیع رسوب.

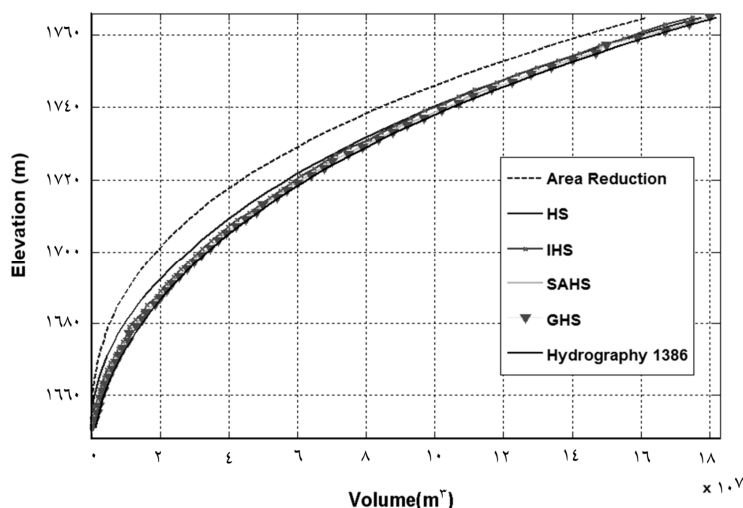
روش	$\sigma$ (MCM) (شرط در صد بهیود تخمین رسوبات)	در صد بهیود تخمین رسوبات (۵۰۰۰ تکرار)
HS	۰/۲۴۶۵۸	۷۰/۴۲
IHS	۰/۲۸۷۱۰	۶۵/۵۶
GHS	۰/۲۴۳۱۱	۷۰/۸۳
SAHS	۰/۲۴۴۲۰	۷۰/۷۰

شکل ۶ مقادیر حجم مخزن را نسبت به ارتفاع در حالت‌های اندازه‌گیری شده، محاسبه‌هایی با استفاده از پارامترهای معمول روشن کاهش سطح و پارامترهای بهینه نشان می‌دهد. همان‌طور که در این شکل مشاهده می‌شود نمودار حجم- ارتفاع به دست آمده با استفاده از پارامترهای بهینه مطابقت بهتری با مقادیر اندازه‌گیری شده دارد.

### نتیجه‌گیری

در این پژوهش از روشن کاهش سطح برای تخمین رسوب ورودی به مخزن سد کرج استفاده شد. پارامترهای روشن تجربی کاهش سطح به صورت تجربی به دست می‌آیند که بهینه کردن آنها تأثیر زیادی در بالا بردن دقت این روشن و کاهش خطای دارد. برای بهینه کردن این پارامترها از الگوریتم بهینه‌سازی جستجوی هارمونی استفاده شده است. به این منظور مدلی براساس تلفیق روشن کاهش سطح با HS در محیط برنامه‌نویسی نرم‌افزار MATLAB توسعه داده شد. مقایسه نتایج این برنامه با هیدروگرافی سال ۱۳۸۶ بیانگر بهیود این روشن می‌باشد. علاوه بر HS، مدل‌هایی نیز براساس تلفیق انواع توسعه‌یافته این الگوریتم با کاهش سطح توسعه داده شد. با توجه به نتایج به دست آمده روشن مناسب‌ترین روشن برای تخمین و پیش‌بینی رسوبات ورودی به مخزن سد کرج بوده است. SAHS

همان‌طور که پیش‌تر توضیح داده شد در این پژوهش علاوه بر تعداد تکرارها، شرط توقف دیگری نیز برای انجام محاسبه‌های در نظر گرفته شد. به این ترتیب که اگر در  $100$  تکرار متوالی اختلاف مقادیر تابع هدف از  $10^{-8}$  کوچک‌تر شد محاسبه‌ها متوقف می‌شود. از ترکیب این شرط توقف با انواع توسعه یافته الگوریتم جستجوی هارمونی، جواب بهینه در مدت زمان کم‌تر و تعداد تکرار کم‌تری به دست می‌آید. همان‌طور که از نتایج ارایه شده در جدول ۵ مشخص است در این مدل‌ها نیز روش SAHS جواب بهتری تولید کرده است. بنابراین می‌توان گفت تلفیق الگوریتم جستجوی هارمونی با روش کاهش سطح، یک روش مؤثر و کارا در تخمین رسوب ورودی به مخازن می‌باشد.



شکل ۶- مقایسه توزیع رسوب در مخزن سد کرج با روش‌های مختلف.

#### منابع

1. Annandal, G.W. 1984. Predicting the distribution of deposited sediment in southern African reservoir. Challenges in African Hydrology and water Resources, IAHS Publ. No. 144: 549-558.
2. Borland, W.M., and Miller, C.R. 1958. Distribution of sediment in large reservoir. J. Hydr. Div. 84: 2. 1-18.
3. Geem, Z.W. 2007. Optimal Scheduling of Multiple Dam System Using Harmony search Algorithm. Notes Comput. Sci. 4507: 316-323.

4. Geem, Z.W. 2006. Optimal Cost Design of Water Distribution Networks Using Harmony search. *Eng. Optim.* 38: 3. 259-280.
5. Geem, Z.W., Kim, J.H., and Loganathan, G.V. 2001. A new heuristic optimization algorithm: harmony search. *Simulation*, 76: 2. 60-68.
6. Ghimire, B.N.S., and Reddy, M. 2010. Development of Stage-Discharge Curve in River Using Genetic algorithms And Model Tree. International Workshop Advances in Statistical Hydrology. Tormina, Italy.
7. Lee, K.S., and Geem, Z.W. 2004. New structural optimization based on the harmonysearch algorithm. *Computers and structures*, 82: 781-798.
8. Lee, K.S., and Geem, Z.W. 2005. A new meta-heuristic algorithm for continuousengineering optimization: harmony search theory and practice. *Comput. Methods Appl. Mech. Eng.* 194: 3902-3933.
9. Mahdavi, M., Fesanghary, M., and Damangir, E. 2007. An improved harmony search algorithm for solving optimization problems. *Applied Mathematics and Computation*, 188: 1567-1579. (In Persian)
10. Mohamadiha, A., Emadi, A., and Samani, J.M.V. 2010. Determining the optimal parameters of area reduction method in sediment distribution of Dam Kardh. Ninth Iranian Hydraulic Conference, T. M.U. (In Persian)
11. Mohamadiha, A., and Emadi, A. 2010. Calibration of Area reduction method to Prediction the distribution of deposited sediment in Golestan Reservoir. Fifth National Congress of Civil Engineering, Ferdosi university of Mashhad. (In Persian)
12. Mohammadzadeh Habili, J., and Mousavi, F. 2009. Improvement of the reservoir shape factor method and evaluation of its changes due to sedimentation. *J. Water Soil.* 22: 2. (In Persian)
13. Mousavi, S.F., Mohamadzadeh Habili, J., and Heydarpour, M. 2007. Evaluating the error of area reduction method in predicting sediment distribution of Dez, Dorodzan and Shahid abaspour Dam. *J. Sci. Technol. Agric. Natur. Resour.* Year XII, Issue Forty-Six. (In Persian)
14. Mousavi, S.F., Heydarpour, M., and Shaabanlou, S. 2006. Predicting the distribution of deposited sediment in Zayandehroud Reservoir Using area reduction method. *J. Water Sewage.* 57: 76-82. (In Persian)
15. Mousavi, S.F., and Samadi Borojeni, H. 1996. Sediment distribution evaluation in small reservoirs in Chahar Mahal Bakhtiari. *J. Water Sewage.* 18:4-13. (In Persian)
16. Omran, M.G.H., and Mahdavi, M. 2008. Global-best harmony search. *Applied Mathematics and Computation*. 198: 643-656.
17. Shaabanlou, S., Mousavi, S.F., and Heydarpour, M. 2002. Predicting the distribution of deposited Sediment in reservoir for now and future. Sixth International Seminar on River, SH. Chamran University, Pp: 55-65. (In Persian)

18. Shafaee bejestan, M. 1999. sediment hydraulic. Publication of Shahid Chamran University of Ahvaz. (In Persian)
19. Safarzadeh, S., Irandoost, M., and Saghi, H. 2009. Analysis of Reservoir Sedimentation Process Using Artificial Neural Network. Second National Conference on Dams, Zanjan University. (In Persian)
20. Toniolo, H., and Parker, G. 2003. 1D numerical modeling of reservoir sedimentation. Proc., IAHR Symposium on River, Coastal and Estuarine Morphodynamics, Barcelona, Spain, Pp: 457-468.
21. Wang, Ch.M., and Huang, Y.F. 2010. Self-adaptive harmony search algorithm for optimization. Expert System with Applications. 37: 2826-2837.
22. Wang, Z., and Hu, C. 2009. Strategies for managing reservoir sedimentation. Inter. J. Sed. Res. 24: 369-384.
23. Yenigun, K., Bilgehan, M., Gerger, R., and Mutlu, M. 2010. A comparative study on prediction of sediment yield in the Euphrates basin. Inter. J. Physic. Sci. 5: 5. 518-534.



Gorgan University of Agricultural  
Sciences and Natural Resources

*J. of Water and Soil Conservation, Vol. 21(3), 2014*  
<http://jwsc.gau.ac.ir>

## Predicting the distribution of deposited sediment in Karaj reservoir using various improved harmony search algorithms

\*K. Aalikhani<sup>1</sup>, K. Qaderi<sup>2</sup> and M.M. Ahmadi<sup>2</sup>

<sup>1</sup>M.Sc. Student, Dept. of Water Engineering, Shahid Bahonar University of Kerman, Kerman, Iran, <sup>2</sup>Assistant Prof., Dept. of Water Engineering, Shahid Bahonar University of Kerman, Kerman, Iran

Received: 10/24/2012; Accepted: 05/12/2013

### Abstract

Dam construction on rivers can lead to sedimentation in reservoirs causing a lot of problems. Forecasting the amount and distribution of sedimentation is very important for the designers of the dam. The area reduction method is one of the experimental models to study the sedimentation in reservoirs. The parameters used in area reduction method have been obtained by Borland and Miller according to the study on 30 dams in America. It is necessary to obtain the optimal values of these parameters for the reservoir sedimentation in other areas. In this study, some models has been developed based on harmony search algorithm (HS) and its various improved algorithms such as IHS, GHS and SAHS in combination with area reduction methods for calculating optimal values of area reduction parameters. At first the accuracy of the developed models has been evaluated using standard functions and then Karaj reservoir sediment is estimated using developed model. Statistical comparisons of different improved methods and area reduction method with the actual sediment deposits in Karaj dam indicate high performance of developed models. Among these methods, the rate of error 90 percent has been reduced by combination of SAHS and HIS with area reduction method.

**Keywords:** Sedimentation, Reservoir, Area reduction method, HS, Karaj Dam

---

\* Corresponding Author; Email: kiyanaulikhani@yahoo.com